

Ce-H-O

$H_3OClO_4$  (к)

1965

$T_m$

140-1-TKB

Московская С.В.?

Температура плавления перхлората  
окиси  $H_3OClO_4$ , 10.

~~139-1-715~~  
HClO<sub>4</sub>(x)

(C<sub>p</sub>, S, dфH, T<sub>m</sub>, dT<sub>m</sub>)

139-1-715

Резницкий Л.А.

Теплоемкость, энтропия, энтальпия, температура и теплота плавления хлорной кислоты, Зс.

$\text{ClO}_2^-$ ,  $\text{ClO}_2$ ,  $\text{HClO}_2$

( $\text{pF}_i \propto \text{H}_2\text{O}$ )

Васильев В.Н.

123-1 1965г.

Стандартизацией изобаристой концентрации  
образование и измерение  $\text{ClO}_2^-$ ,  $\text{HClO}_2$   
и  $\text{ClO}_2$  в водном растворе,  $\delta c$ .

Н.003.

J-2072

Bφ - 2072 - I

1878

Berthelot

47. Ann. chim. phys. 14, 368 (1878)

HCl.2H<sub>2</sub>O; T<sub>m</sub>, ΔH<sub>m</sub>

Circ. 500

μ, K



φ

7 - 2 141

1882

Berthelot

79. Ann. chim. phys. 27, 214 (1882)

$\text{HClO}_4$ ; nc. )

p-p.; )

$\text{HClO}_4 \cdot \text{H}_2\text{O}$ ; kp.; )  $\Delta H_f^\circ$

$\text{HClO}_4 \cdot 2\text{H}_2\text{O}$ ; nc. )

Circ. 500

$\beta, \mu$



$\emptyset$

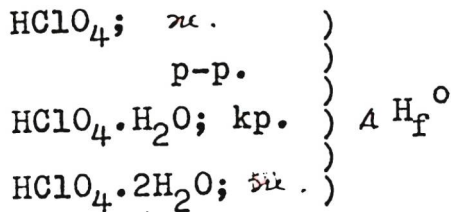
I-2142

Bφ-5500-I

1882

Berthelot

80. Ann. chim. phys. 27, 222 (1882)



Circ. 500  m



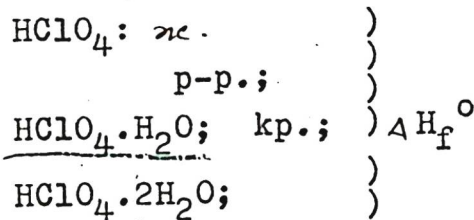
φ

1-2134

1882

Berthelot

80. Ann. chim. phys. 27, 222 (1882)



Circ. 500

$\beta, M$



$\phi$

7-2/36

1882

Berthelot

79. Ann. chimphys. 27, 214 (1882)

$\text{HClO}_4$ ;  $\mu$ .;  $\Delta H_f^\circ$

p-p.;  $\Delta H_f^\circ$

$\text{HClO}_4 \cdot \text{H}_2\text{O}$ ; kp.;  $\Delta H_f^\circ$

$\text{HClO}_4 \cdot 2\text{H}_2\text{O}$ ;  $\mu$ .;  $\Delta H_f^\circ$

Circ. 500

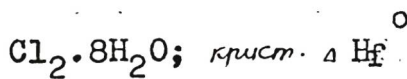
$\beta, \mu$

T-1880

1884

Roozeboom

2. Rec. trav. chim. 3, 54 (1884)



B.M.

Circ. 500



✓

I-2074

I884

Roozeboom

4. Rec. trav. chim. 3, 73 (I884)

Bz<sub>2</sub>; T<sub>G</sub>, ΔH<sub>G</sub>

HCl.2H<sub>2</sub>O; T<sub>m</sub>, ΔH<sub>m</sub>

Circ. 500

K



? P-1

I-2073

I884

Roozeboom

J. Rec. trav. chim. 3, 57 (I884)

HCl. 2H<sub>2</sub>O; T<sub>m</sub>, ΔH<sub>m</sub>

Bz. 10H<sub>2</sub>O; κ<sub>p</sub>; ΔH<sub>f</sub>°

Bz<sub>2</sub>; T<sub>B</sub>, ΔH<sub>B</sub>

Circ. 500

μ, κ



? P-1

I-1881

1885

Roozeboom

5. Rec. trav. chim. 4, 65 (1885)

B<sub>2</sub>O<sub>3</sub>.10H<sub>2</sub>O; крист.; ΔH<sub>f</sub><sup>°</sup>

Cl<sub>2</sub>.8H<sub>2</sub>O; крист.; ΔH<sub>f</sub><sup>°</sup>

SO<sub>2</sub>.7H<sub>2</sub>O; кр.; ΔH<sub>f</sub><sup>°</sup>  
Circ. 500

✓ B  
μ

I-1878

Bφ-5508-I

1901

do Forcrand

39. Compt. rend. 133, 1304 (1901)

$\text{Cl}_2 \cdot 8\text{H}_2\text{O}$ ; крист.;  $\Delta H_f^\circ$

(B, u)

Circ. 500



9pV

$\text{OHT}_3\text{ClO}_4$

1931.

Smith G. F.

Goekler O E.

"Ind. Eng. Chem." Anal.  
1931, 3, 58-61.

Tm

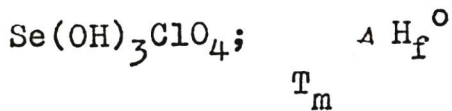
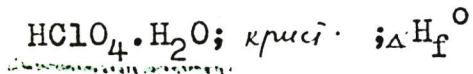
Bp - 365°g - T

7-2135

1939

Arlman

1. Rec. trav. chim. 58, 871 (1939)



Circ. 500

$(\mu, \beta)$



$\phi$

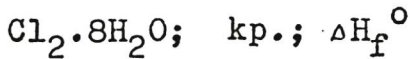
T-1879

Bφ-1879-I

1943

Harris

1. Nature 151, 309 (1943)



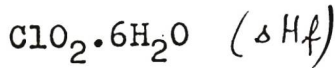
Circ. 500 (B, u)



90

I-3044

1949



v. Stackelberg M.

Naturwissenschaften, 1949, 36,  
3593-362

Feste Gashydrate

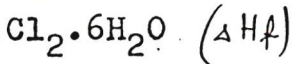
C.A., 1950, 44, 7107h

M.



I-3042

1949



v.Stackelberg M.

Naturwissenschaften, 1949, 36,  
359-362

Feste Gashydrate

C.A., 1950, 44, 7107h

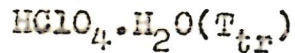
$\mu$ .



$\downarrow \phi$

Т-2/39

1958



Росоловский В.Я., Зиновьев А.А.  
Ж.неорган.химии, 1958, № 7, 1589-1591.

Хлорная кислота и ее производные. Уш. О полиморфизме перхлората оксония.

РЖХим., 1959,  
I4905.

K



V

gh-1

1-2143

$\text{HClO}_4 \cdot \text{H}_2\text{O}$  ( $T_{tr}$ )

1958

Зиновьев А.А., Бабасва В.П.

Ж.неорган.химии, 1958, № 6, 1428-  
1432.

Хлорная кислота и ее производные.  
Двойная система моногидрат хлорной  
кислоты - уксусная кислота.

РЖХим., 1958, № 23, 76672

К, Р

T-2147

ВФ-2132-I

1958

HClO<sub>4</sub> (T<sub>m</sub>)

H<sub>3</sub>OClO<sub>4</sub> (T<sub>tr</sub>)

Зиновьев А.А., Росоловский В.Я.

Ж. неорган. химии, 1958, № 10, 2382-2389.

Х. Системы хлорный ангидрид-вода.

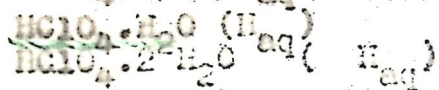
РЖХим., 1959.

30482

K



7-2138



1960

✓ (B)

Кривцов Н.В., Родоловский В.Я., Зиновьев А.А.  
Ж.неорган.химии, 1960, 5, № 4, 772-774.

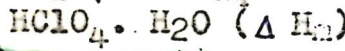
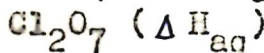
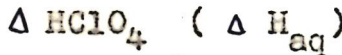
Интегральные теплоты растворения хлорной  
кислоты.

РХХим., 1960

83896

I-2140

1960



✓ (B)

Росоловский В.Я., Кривцов Н.В., Зиновьев А.А.  
Ж.неорган.химии, 1960, № 5, с. 4,778-781.

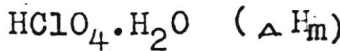
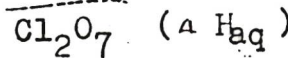
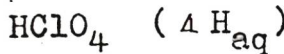
Интегральные теплоты растворения хлорного  
ангирида и его смесей с хлорной кислотой  
в воде при 25°.

РЖХим., 1960.

83897

T-2145

1960



Росоловский В.Я., Кривцов Н.В., Зиновьев  
А.А.

Ж.неорган.химии, 1960, № 4, 778-781.

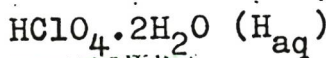
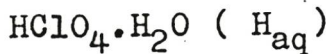
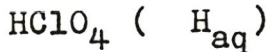
Интегральные теплоты растворения хлорно-  
го ангидрида и его смесей с хлорной кисло-  
той в воде при 25°.

РЖХим., 1960, 83897

K, B

Т-2/44

1960



Кривцов Н.В., Росоловский В.Я., Зиновьев  
А.А.

Ж.неорган.химии, 1960, 5, № 4, 772-774.

Интегральные теплоты растворения хлорной  
кислоты.

РЖХим., 1960,  
83896

μ, β



✓

HClO<sub>n</sub>H<sub>2</sub>O

1962

Guyana

St. Pavia, St. Potier

T<sub>m</sub>

B4P - 53.26 - 1

"C. & Read. See"

1962, 254, N18,  
3213-15

50818.1452

Ch

$\text{HClD}_2$  ( $K_p, K$ )

1965

BP - XI 1936

Leonesi Dante, Piantoni Giammario. Costante  
di dissociazione e spettro dell'acido  
cloroso. "Ann chimica", 1965, 55, N 7,  
668-675

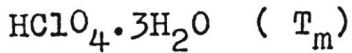
(итал.; рез. Франц., англ.)

МВ

Есть ортогн.

I-3101

1963



Mascherpa Guy, Pavia André, Potier  
Antoine. Equilibrios liquide-solide  
dans le benaire acide perchlorique eau.  
"C.r.Acad.sci.", 1962, 254, N 18, 3213-  
3215 (japan.)

PX., 1963, 3, 6392

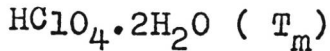
5



Σγε op.

I-3101

1963



Mascherpa Guy, Pavia André, Potier Antoine.

Equilibros liquide-solide dans le  
binaire acide perchlorique-eau. "C.r.Acad.  
sci.", 1962, 254, N 18, 3213-3215 (pauw)

PX., 1963, 3, 6392

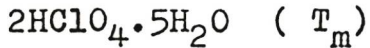
68



276 ep.

I-3101

1963



Mascherpa Guy, Pavia André, Potier  
Antoine. Equilibros liquide-solide  
dans le binaire acide perchlorique-eau.  
"C.r.Acad.sci.", 1962, 254, N 18, 3213-  
3215 (प्राप्त.)

PX., 1963, 3, 6392

8

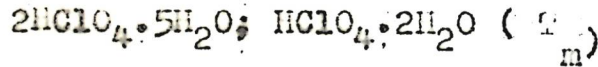
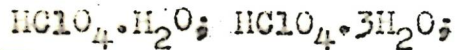
5



Eyz op.

I - 3101

1963



Mascherpa Guy, Pavia André, Potier  
Antoine. Equilibrios liquide-solide  
dans le binaire acide perchlorique-eau.  
"C.r.Acad.sci.", 1962, 254, n° 18, 3213-  
3215 (Oppamus.)

F.I.X., 1963, 3, 6, 392

(5)

Σγβ. 10.

H<sub>2</sub>O · 4HClO<sub>4</sub> (T<sub>tz</sub>) XI 2028 1963

Mascherpa G.,

C. r. Acad. sci., 1963, 257 (22),

3414-16

Perchloric acid hydrate

5.

(cp)

Багаж

ЕСТЬ Ф. Н.



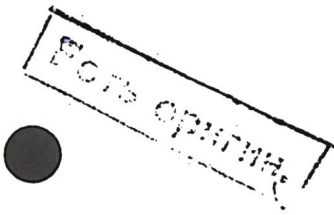
Ca64

HClO<sub>4</sub> · 3H<sub>2</sub>O (Tm, T+z) XI 2027 1965

Mascherpo Guy,

Rev. Chim. minér., 1965, 2, N 3,  
379-433

5



X-(H<sub>2</sub>O)<sub>n</sub> (ΔH, ΔG, S) 1970  
X = F, Cl, Br, I 11 X-850

Arshadi M., Yamada S., Kebabec  
*J. Phys. Chem.* 1970, 74, 17, 1475-82 (and);  
Hydrogenation of the halide negative  
ions in the gas phase. II Comparison  
of hydrogenation energies for the al-  
kali positive and halide negative  
ions. (cell F-H-O, I)

M, B/O ⑨ CA, 1970, 72, N22, 115412V

ОНЖТ АМ)

X=OH, F, Cl, Br, I

11

1970

Arshadi M., Kebavle P. XI 17

J. Phys. Chem., 1970, 74, № 7, 1483-5 (амер.)

Solvation of OH<sup>-</sup> and O<sub>2</sub><sup>-</sup> in the gas phase. Comparative solvation of OH<sup>-</sup> by water and the hydrogen halides. Effects of acidity.

М. В. (О. П.)  
— (cell. H<sub>3</sub>O<sup>+</sup>; I)

СЕТЬ ОРИГИНАЛ  
03.1970, 72, 162, 1153498

XI-1024

1970

$\text{ClF}_3$  / $2\text{g}$ ) / $\Delta H_{f298, \text{O}^0}$ )  
[HCl. 100 $\text{H}_2\text{O}$ ] ( $\Delta H_f$ )

King R.C., Armstrong G.T.,  
J. Res. Natl. Bur. Stand., 1920, A 74,  
N6, 769-79

M

НОСЕ, ДОСЕ, ТОСЕ, НОЛІ, ДОЛІ, ТОЛІ, 1970  
СЛОЛІ, СЛОЛР, СЛОФ, ЛІОЛР, ЛІОФ (термодин.  
свойства)

Кулажин В.И., Борисов М.И., Янтов А.Я,  
Жаслов Р.Г., Степанов А.С. № 4722  
Редакция "Н. физ. химии" АН СССР. М.,  
1970, 13 ср.

Внутреннесоставленные формулы явной зависимости  
жесткости термодинамических свойств некоторой  
производной  $H_{2O}$  в газообразной фазе от  
температуры

РНХим. 1970  
1954'87 Dan.

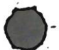
18 НОФ

XI-1846

1970

Cl<sub>2</sub> · n H<sub>2</sub>O (k) / Kp, ΔH)

Wilkes D.A., Van Haute A.A.,  
Proc. Int. Symp. Fresh Water  
Sea, 3<sup>rd</sup>, 1970, 3, 117-129.



M

$\text{HClO}_4 \cdot 2.5\text{H}_2\text{O}$  ( $T_m$ ) " XI 2593 1971

Kinlöf J., Lundgren J.-O., Olovsson I.  
Acta crystallogr., 1971, B27, N5, 898-904 (with)  
Hydrogen-bond studies. XLV. The crystal  
structure of  $\text{HClO}_4 \cdot 2\frac{1}{2}\text{H}_2\text{O}$ .

Ph. Xu, 1972

15436

① 5 5 ④

Перхлораты

1971

З Б194. Отнесение высокочастотной полосы в водных растворах перхлоратов — ответ на возражение Субраманяна и Фишера. Kęcki Zbigniew, Dzjajanski Piotr. Assignment of high-frequency band in aqueous perchlorate solutions - a reply to the argument of S. Subramanian and H. F. Fisher. «Roczn. chem.», 1971, 45, № 5, 937—938 (англ.)

(Дискуссионная статья (см. пред. реферат).

Б. В. Рассадин

Х, 1972, 3

1973

Cl<sub>2</sub> · n H<sub>2</sub>O

X1 - 4127

CO<sub>2</sub> · n H<sub>2</sub>O

(ΔHf)

74777g Properties of the hydrates of chlorine and carbon dioxide. Bozzo, A. T.; Chen, Hsiao-Shieng; Kass, J. R.; Barduhn, A. J. (Syracuse Univ., Syracuse, N.Y.). *Proc. Int. Symp. Fresh Water Sea, 4th* 1973, 3, 437-51 (Eng). Edited by Delyannis, A. Work. Party Fresh. Water. Sea: Amaroussion, Greece. The phase diagram of chlorine hydrate up to 125 psig and CO<sub>2</sub> hydrate up to 45 atm. were detd. in pure H<sub>2</sub>O and aq. NaCl solns. of up to 10% NaCl. Heats of formation, hydrate compn., crit. decompr. conditions, salt effects, and other data are given.

William I. Neef

(+1)  
☒

C.A. 1974, 80, N14

$\text{HClO}_4 \cdot \text{H}_2\text{O}$

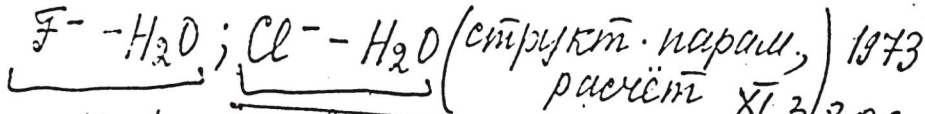
1973

85: 39452d Proton jumps in crystalline hydronium perchlorate. Janik, J. M.; Rachwalska, M.; Janik, J. A. (Inst. Chem., Jagiellonian Univ., Krakow, Pol.). *Rap. - Inst. Fiz. Jad. (Krakow)* 1973, 846/PS, 21 pp. (Eng). The phase transition of  $\text{HClO}_4 \cdot \text{H}_2\text{O}$  at  $248^\circ$  was studied by sp. heat and quasielastic neutron-scattering measurements. The sp. heat was detd. at  $100$ - $300^\circ\text{K}$  and gave an exact temp. of transition of  $248.4 \pm 0.1^\circ\text{K}$  with an enthalpy of  $1.30 \pm 0.03$  kcal/mole and an entropy of  $5.25 \pm 0.12$  cal/mole- $^\circ\text{K}$ . A Gaussian elastic scattering peak occurs in the low-temp. phase which becomes complicated by a Lorentzian component in the high-temp. phase. This component indicates an av. time between proton jumps in the double-well potential of the H bond of  $\sim 2.7 \times 10^{-12}\text{sec}$ . There appears to be a dynamic equil. of  $\text{H}_3\text{O} \cdot \text{ClO}_4 \rightleftharpoons \text{H}_2\text{O} \cdot \text{HClO}_4$ .

$T_{tr}$ ;  $C_p$ ,

$\Delta H_{tr}$

c. a. 1976 85v6



Kistenmacher H., Popkic H.,  
 Clementi E.,

J. Chem. Phys., 1973, 58, N<sub>12</sub>, 5627-  
 -38 (анал.)

Structure of molecular com-  
 plexes. III. Energy surface of a  
 water molecule in the field  
 of a fluorine or chlorine atom.  
 Cf. 1973, 79, N<sub>22</sub>, 12944 fm

40227-7515

 $\text{Cl}^+ + \text{H}_2\text{O} \xrightarrow{\text{X}} \text{Cl}\text{H}_2\text{O}$ 

1973

SIS, Ch, TE

40892

44-3825

 $(\text{cav. Li}^+ \cdots \text{H}_2\text{O}) \xrightarrow{\text{III}}$ 

Kistenmacher H., Popkie H., Clementi E.

Study of the structure of molecular complexes. V. Heat of formation for the  $\text{Li}^+$ ,  $\text{Na}^+$ ,  $\text{K}^+$ ,  $\text{F}^-$ , and  $\text{Cl}^-$  ion complexes with a single water molecule."J. Chem. Phys.", 1973, 59, NII

5842-5848

(англ.)

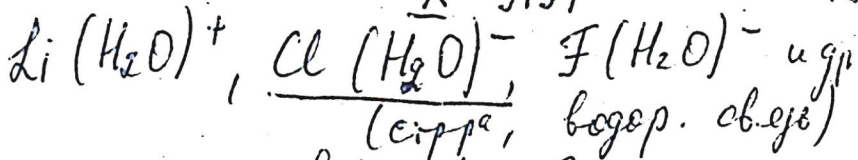
039 040 0046

ВИНИТИ

- 1973
- $\text{H}_3\text{O}^+$   
 $\cdot \text{ClO}_4^-$   
 $T_{\text{f}, 2}$  3580  
 XI
- 24 Б787. Электропроводность перхлората оксония путем диффузии протонов. Potier Antoine, Rousselet Daniel. Conductivité électrique et diffusion du proton dans le perchlorate d'oxonium. «J. chim. phys. et phys.-chim. biol.», 1973, 70, № 6, 873—878 (франц.; рез. англ.).
- В интервале от  $-50$  до  $+50^\circ$  измерена электропроводность перхлората оксония. Установлено, что в точке фазового перехода ( $P_{\text{mta}} \rightarrow P_{21/c}$ ) при  $-24^\circ$  наблюдается скачок электропроводности. Очень высокая собственная проводимость фазы с симметрией  $P_{\text{mta}}$  ( $3,41 \times 10^{-4} \text{ ом}^{-1} \cdot \text{см}^{-1}$ ) связывается с присутствием ионов  $\text{H}_3\text{O}^+$ . Предполагается, что электропроводность осуществляется гл. обр. за счет переноса протонов. Измерения самодиффузии  $\text{H}$  и  $\text{O}$  ( $T$  и  $^{18}\text{O}$ ) подтверждают справедливость этого предположения. Механизм переноса протонов подобен механизму, описанному ранее для  $\text{NH}_4\text{ClO}_4$  и для льда.  $\text{H}$  из  $\text{H}_3\text{O}^+$  захватывается  $\text{ClO}_4^-$ , а структура  $\text{H}_3\text{O}^+\text{ClO}_4^-$  содержит ряд протонных дефектов (дырки и избыточные  $\text{H}_2\text{O}$  и  $\text{HClO}_4$ ). Из резюме
- X. 1973 № 24

X-9191

1973



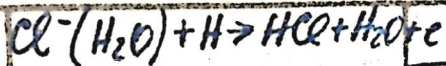
Schuster P.

Struct. Water Aqueous' Solutions,  
Proc. Int. Symp., 1973 (Pub. 1974), 141-164



HO

40906.1867



Ph, TC, Ch

40892 02 2367  
 $\Delta H_{\text{peaky}}$

Howard Carleton J. Fehsenfeld R.F.C.,  
McFarland M. Negative ion-molecule reac-  
tions with atomic hydrogen in the gas  
phase at 296°K.

"J. Chem. Phys.", 1974, 60, N 12, 5086-

5089

(англ.)

0186 МКД

152 156

ВИНИТИ

$\text{H}_3\text{O}\cdot\text{ClO}_4$

XV-4138

1974

21 Б8/2. Скачки протона в кристаллическом перхлорате гидрония. Janik J. M., Rachwalska M., Janik J. A. Proton jumps in crystalline hydronium perchlorate. «Physica», 1974, 72, № 1, 168—178 (англ.)

Методами калориметрии и нейтронографии изучены фазовые переходы в перхлорате гидрония  $\text{H}_3\text{O}\cdot\text{ClO}_4$  (I) [т. е. в моногидрате хлорной к-ты]. Установлено, что при  $248,4^\circ$  I претерпевает фазовый переход первого рода [кристаллографич. переход из монокл. фазы ( $P2_1/n$ ) в ромбич. фазу ( $R\bar{p}ma$ )]. Скрытая теплота перехода и изменения энтропии составляют  $1,30 \pm 0,03$  ккал/моль и  $5,25 \pm 0,12$  э. е. На основании квазиэластичного рассеяния нейтронов установлено, что протон в группе  $\text{H}_3\text{O}$  в ромбич. фазе статистически колеблется между двумя эквивалентными положениями и среднее время такого колебания составляет  $\sim 3,5 \cdot 10^{-12}$  сек. На основании полученных результатов можно утверждать, что в ромбич. фазе I существует конфигурац. динамич. равновесие  $\text{H}_3\text{O}\cdot\text{ClO}_4 \rightleftharpoons \text{H}_2\text{O}\cdot\text{HClO}_4$ .

А. В. Салов

Tet, dH<sub>2</sub>

ΔS<sub>Tc</sub>

2.1974  
n21

$\text{H}_3\text{O}\cdot\text{ClO}_4$  ( $\tau\delta$ )

XI-4138

1974

30520j Proton jumps in crystalline hydronium perchlorate.  
Janik, J. M.; Rachwalska, M.; Janik, J. A. (Inst. Chem.,  
Jagiellon. Univ., Cracow, Pol.). *Physica (Utrecht)* 1974, 72(1),  
168-78 (Eng). Calorimetric measurements were made for solid  
 $\text{H}_3\text{O}.\text{ClO}_4$ . The existence of the 1st-order phase transition at  
248.4°K was proved and the thermodn. parameters of this  
transition evaluated. Quasielastic neutron-scattering measurements  
were made for the same substance below and above the phase  
transition by applying the method of differentiation of the Be  
edge. In the high-temp. phase a lorentzian component of the  
quasi-elastic peak was obtained. From its width the av. time  
between proton jumps in a double-well potential of the H bond  
was  $\sim 3.5 \times 10^{-12}$  sec.

C.A. 1974. 81. NY

40918.7372  
Ch, Ph, TC

35223 02 1974  
 $\text{Cl}^-(\text{H}_2\text{O})_n^+$   
14, 15°, 46,98 X4-6262

Yamdagni R., Kebarle P.

The hydrogen bond energies in  $\text{ClHCl}^-$   
and  $\text{Cl}^-(\text{HCl})_n$ .

"Can. J. Chem.", 1974, 52, N 13, 2449-2453

(англ., рез. франц.)

0192

157 160

264

ВИНИТИ

1975

H<sub>2</sub>O • Cl<sub>2</sub>

87f



+1

Kb. Mex. pacrj

H) 137145j Theoretical study of intermolecular bonds by charge transfer. II. Water-chlorine bond. Leroy, G.; Louberman-Leloup, G. (Lab. Chim. Quant., Univ. Louvain, Louvain, Belg.). *J. Mol. Struct.* 1975, 28(1), 33-44 (Fr). The interaction was studied between an "ether" O atom and a Cl atom (RR'O...Cl)(the complex H<sub>2</sub>O-Cl<sub>2</sub>). Ab initio results show the existence of this complex and define its structure. A heat of formation of 0.747 kcal mole<sup>-1</sup> was calcd. Charge transfer towards halogen is very weak compared with the polarization of the Cl<sub>2</sub> mol.

C.A. 1975 83 n16

Cl<sub>2</sub> · xH<sub>2</sub>O, CO<sub>2</sub> · xH<sub>2</sub>O (4HF) 1975

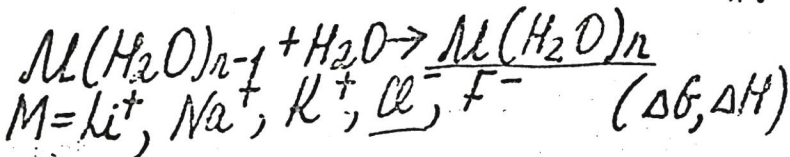
Bozzo A.T., Chen Hsiao-Sheng,  
Kass J.R., Barduhn A.J.,  
Desalination, 1975, 16(3),  
303-20.

Properties of the hydrates of  
chlorine and carbon dioxide.

C.A. 1975, 83 n22. 184540u M (cp) ?

1976  
118

BK-775



Abraham F.F., Mruzik M.R.,  
Pourd B.M.,

Faraday Discuss. Chem. Soc. 1976, 61  
(Precipitation), 34-47.

The thermodyn.

and structure of  
hydrated halide...  
B, Br, I, X- CP

C.A. 1977, 87, N8, 592154

D<sub>3</sub>O·ClO<sub>4</sub>

XI-5570  
enmuu 5098

1976

(C<sub>P</sub>)

87: 29994j An adiabatic calorimetry study of the phases in solid deuterated perchloric acid monohydrate. Czarniecki, K.; Janik, J. A.; Janik, J. M.; Pytasz, G.; Rachwalska, M.; Waluga, T. (Inst. Chem., Jagiellonian Univ., Kraków, Pol.). *Physica B + C (Amsterdam)* 1976, 85 B & C(2), 291-8 (Eng). Sp. heat measurements on (D<sub>3</sub>O.ClO<sub>4</sub>) [24847-50-5] showed anomalies at 245.1 and 251.9 K. Entropies connected with these anomalies are 1.22 and 4.69 cal/(mol K). A structural model based upon D<sub>3</sub>O<sup>+</sup>-ion configuration is suggested for the interpretation of the obsd. phase situation.

C.A. 1977. 87 n 4

D<sub>3</sub>O·ClO<sub>4</sub>

XI-5570  
Om 5098

1976

S E396. Изучение фаз в твердом D<sub>3</sub>O·ClO<sub>4</sub> с помощью адиабатической калориметрии. Czagniecki K., Janik J. A., Janik J. M., Pytasz G., Rachwalska M., Waluga T. An adiabatic calorimetry study of the phases in solid D<sub>3</sub>O·ClO<sub>4</sub>. «Physica», 1976, BC 85, № 2, 291—298 (англ.)

(C<sub>p</sub>)

Теплоемкость измерена в интервале т-р 130÷350° К. Обнаружены резкие пики теплоемкости при 245,1 и 251,9° К, которым соответствуют изменения энтропии 1,22±0,09 и 4,69±0,27 кал/моль·град соответственно. Сравнение с данными для H<sub>3</sub>O·ClO<sub>4</sub> приводит к выводу о важной роли динамики атомов водорода в фазовом превращении. Предложена структурная модель, объясняющая существование трех фаз у D<sub>3</sub>O·ClO<sub>4</sub>.

ф. 1977 № 8

$H_3O \cdot ClO_4$  отмеч 5098

1976

$D_3O \cdot ClO_4$

16 Б855. Исследование фаз в твердом  $D_3O \cdot ClO_4$  методом адиабатической калориметрии. Czarniecki K., Janik J. A., Janik J. M., Pytasz G., Rachwalska M., Waluga T. An adiabatic calorimetry study of the phases in solid  $D_3O \cdot ClO_4$ . «Physica», 1976, BC85, № 2, 291—298 (англ.)

В интервале т-р 130—350 К измерена теплоемкость моногидрата дейтерированной хлорной к-ты  $D_3O \cdot ClO_4$  (I). Кривая т-рной зависимости  $C_p$  показала два полиморф. превращения при  $245,5 \pm 0,1$  и  $251,9 \pm 0,2$  К с энталпиями  $300 \pm 23$  и  $1182 \pm 67$  кал/моль и энтропиями  $1,22 \pm 0,09$  и  $4,69 \pm 0,27$  э. е. Результаты сравнены с данными для  $H_3O \cdot ClO_4$  (II), имеющего один переход при  $248,4 \pm 0,1$  К с энтропией  $5,25 \pm 0,12$  э. е. Установле-

( $C_p$ )

⑦

X. 1977. n16

но, что низкот-рная фаза I имеет орторомбич. структуру, а высокот-рная — моноклинную, что соответствует данным для II. Для промежуточной фазы I предположена моноклинная структура, отличающаяся от высокот-рной ориентациями двух групп  $D_3O^+$ . Наличие трех фаз у I, в отличие от двух у II, указывает на влияние динамики атомов водорода на фазовые переходы. Отмечено, что сумма энтропий обоих переходов I (5,91 э. е.) не очень отличается от энтропии перехода II. Для интерпретации фазовых переходов предложена структурная модель I, основанная на различных конфигурациях  $D_3O^+$ .

А. Кисилевский

1976

D<sub>3</sub>O.ClO<sub>4</sub>

88: 127283s An adiabatic calorimetry study of the phase situation in solid deuterated perchloric acid monohydrate. Czarniecki, Krzysztof; Janik, Jerzy A.; Janik, Janina M.; Pytasz, Gerard; Rachwalska, Małgorzata; Waluga, Tadeusz (Inst. Chem., Jagiellonian Univ., Krakow, Pol.). *Rap. - Inst. Fiz. Jad. (Krakow)* 1976, 924/PS, 31 pp. (Eng). Sp. heat measurements performed for deuterized perchloric acid monohydrate (D<sub>3</sub>O.ClO<sub>4</sub>) led to the discovery of two anomalies: at 245.1 K and at 251.9 K. Entropies connected with these anomalies are 1.22 cal/mol.K and 4.69 cal/mol.K. A structural model based upon D<sub>3</sub>O<sup>+</sup> - ion configurations is suggested for the interpretation of the obsd. phase situation.

Cp, T<sub>c</sub>, SH<sub>t</sub>

C.H., 1978, 88N8

BP #T-4955

1976

CH<sub>3</sub>OH, CH<sub>3</sub>COO<sup>-</sup>, CH<sub>3</sub>CO<sub>3</sub><sup>2-</sup>,  
CH<sub>3</sub>CO<sub>2</sub><sup>-</sup>, CH<sub>3</sub>CO<sub>2</sub>H, CH<sub>3</sub>CH<sub>2</sub>CO<sub>2</sub><sup>-</sup>,  
CH<sub>3</sub>CF<sub>3</sub>CO<sub>2</sub><sup>-</sup> / (NH<sub>3</sub>)<sub>2</sub>CS

Lam S. Y., Louis C., Benoit R. L.

J. Amer. Chem. Soc., 1976, 98, N<sup>o</sup> 5,  
1156 - 1160

(B)

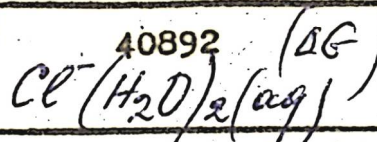
60219.3673

Ch, Ph, TC

40892

(ΔG)

1976



4216

Kruzik Michael R., Abraham Farid F.,  
 Schreiber Donald E., Pound G.M. A Monte  
 Carlo study of ion-water clusters.

"J. Chem. Phys.", 1976, 64, N 2,  
 481-491 (англ.)

0554 ПЯК

541 541

546

ВИНИТИ

$\text{ClF}_3 \cdot n\text{H}_2\text{O}$

1976

$\text{CBrJF}_2 \cdot n\text{H}_2\text{O}$

2 Б837. Давление диссоциации водных клатратов.  
 Ступин Д. Ю., Тезиков В. Н. В сб. «II Всес. конф. по термодинамике органических соединений», Горький, 1976. Тезисы докл.» Б. м., 1976, 35—36

Получены гидраты (дейтераты)  $\text{ClF}_3 \cdot n\text{H}_2\text{O}$ ,  $\text{ClF}_3 \cdot n\text{D}_2\text{O}$  и  $\text{CBrJF}_2 \cdot n\text{H}_2\text{O}$  при давл. гидратообразователей 750 мм и т-рах 276,55; 279,95 и 281,15 К соотв. Исследуемые гидраты — тв. соединения, плохо растворимые в воде. Равновесие в системе гидрат — жидкость — пар (в основном вода) — газ устанавливается за 12—18 час., а в системе гидрат — тв. пар (в основном лед) — газ — не более, чем за 24 часа при изученных т-рах. В интервале 267—285 К с точностью  $\pm 0,4$  мм измерено суммарное давл. пара воды и гидратообразователя ( $\text{ClF}_3$ ,  $\text{CBrJF}_2$ ) в указанных системах. По методу Шефера и Майера определены составы гидратов:  $\text{ClF}_3 \cdot 17\text{H}_2\text{O}$ ,  $\text{ClF}_3 \cdot 17\text{D}_2\text{O}$  и  $\text{CBrJF}_2 \cdot 17\text{D}_2\text{O}$ .

(f1)

X 1977 № 2

Резюме

CLOH+

1944

Rosenstock H. H. et al

Z. Phys. Chem. Ref. Data,  
1944, 6. Suppl. n1, p 1-969

T. G.  
CB.Ba

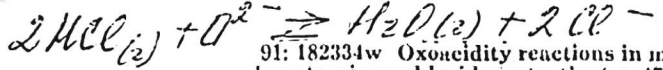
D<sub>3</sub>O.ClO<sub>4</sub>

1979

90: 193379v An adiabatic calorimetry study of the phase situation in solid deuterated perchloric acid hydrate (D<sub>3</sub>O.ClO<sub>4</sub>). Czarniecki, K.; Janik, J. M.; Pytasz, G.; Rachwalska, M.; Janik, J. A.; Waluga, T. (Inst. Chem., Univ. Jagiellonski, Krakow, Pol.). Report 1976, INP-924/PS, 31 pp. (Eng). Avail. INIS. From INIS Atomindex 1979, 10(1), Abstr. No. 419539. Heat capacity measurements performed on deuterated perchloric acid minihydrate (D<sub>3</sub>O.ClO<sub>4</sub>) led to the discovery of 2 anomalies: at 245.1 and 251.9 K. Entropies connected with these anomalies are 1.22 and 4.69 cal/mol K, resp. A structural model based upon D<sub>3</sub>O<sup>+</sup>-ion configurations is suggested for the interpretation of the obsd. phase situation

(C<sub>p</sub>)

C.A. 1979, 90, N24



1973

91: 182334w Oxoreactivity reactions in molten lithium chloride + potassium chloride eutectic (at 470°C): potentiometric study of the equilibria of exchange of oxide ion between aluminum(III) systems and carbonate and water systems. Picard, G.; Seon, F.; Tremillon, B. (Ec. Natl. Super. Chim. de Paris, Univ. Pierre et Marie Curie, F-75231 Paris, 05 Fr.). *J. Electroanal. Chem. Interfacial Electrochem.* 1979, 102(1), 65-75 (Eng). The reaction between aluminum chloride and oxide anion were studied in molten LiCl + KCl eutectic at 470 °. For that purpose, a pO<sub>2</sub>- indicator electrode made with a membrane in yttria-stabilized zirconia was used and tested by means of a carbonate ion whose dissoch. const., 10<sup>-2.16</sup> atm, was detd. Then, the electrode was used to obtain the formation const. of AlO<sup>+</sup> (solvated by Cl<sup>-</sup>) and the solv. product of Al<sub>2</sub>O<sub>3</sub>(S): 10<sup>10.7</sup> and 10<sup>-27.4</sup>, resp. (molality scale). The equil. const. of the system 2 HCl(g) + O<sup>2-</sup> ⇌ H<sub>2</sub>O(g) + 2 Cl<sup>-</sup> was also detd.: 10<sup>9.93</sup> atm mol kg<sup>-1</sup>. The conditional solv. of alumina in LiCl + KCl melt is discussed.

fabreboeuf

C.A 1979, 91, 1622

$\text{Cl}^-(\text{H}_2\text{O})_n$

1982

$n=0-6$

Bekmuratova E. M.

IZV. Akad. Nauk

Az. Rugsasvaz., Uzb. SSR, Ser.

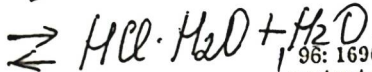
Az. Rugsasvaz. Fiz.-Mat. Nauk

1982, (6), 59.

(c.e.s.  $\text{Na}^+(\text{H}_2\text{O})_n; \bar{I}$ )



1982



96: 169670m Proton NMR study of equilibria in concentrated solutions of hydrochloric and sulfuric acids. Kostromina, N. A.; Anikina, N. S.; Vdovenko, I. D. (Inst. Obshch. Neorg. Khim., Kiev, USSR). Ukr. Khim. Zh. (Russ. Ed.) 1982, 48(3), 230-5 (Russ). The equil. consts. for acid dissociation in concd. solns. were calcd. from NMR chem. shift data. For  $\text{H}_3\text{O}^+ + \text{Cl}(\text{H}_2\text{O}) \rightleftharpoons \text{HCl}\cdot\text{H}_2\text{O} + \text{H}_2\text{O}$ ,  $K = 0.7 \pm 0.2$ . For  $\text{H}_2\text{SO}_4\cdot\text{H}_2\text{O} + \text{H}_2\text{O} \rightleftharpoons \text{HSO}_4(\text{H}_2\text{O})^- + \text{H}_3\text{O}^+$ ,  $K = 0.6 \pm 0.17$  and for  $\text{HSO}_4(\text{H}_2\text{O})^- + \text{H}_2\text{O} \rightleftharpoons \text{H}_3\text{O}^+ + \text{SO}_4(\text{H}_2\text{O})^{2-}$ ,  $K = 0.05 \pm 0.01$ .

$K_p$

C.A. 1982, 96, N20

$\text{Cl}(\text{H}_2\text{O})_n^-$       On. 16727      1983

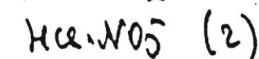
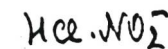
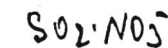
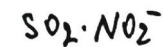
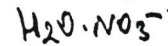
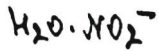
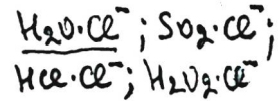
(2afte)

Pitzer K. S.,

J. Phys. Chem. 1983,  
87, N<sup>o</sup> 1120-1125.



от. № 498 1984



Кр, АФН ~~15~~ (15)

Х. 1984, 19, N 23

№ 23 Б4362. Исследование химии атмосферных отрицательных кластерных ионов и определение их энергий диссоциации. Studies on the bond energy and chemistry of atmospheric negative cluster ions. Böhlinger H., Fahey D. W., Fehsenfeld F. C. «SASP'84: Symp. Atom. and Surface Phys., Maria Alm, Salzburg, 29 Jan.—4 Febr., 1984. Contrib.» Innsbruck, s. a., 210—212 (англ.)

Методом потока после разряда измерена т-рная зависимость констант равновесия р-ций обмена лигандов в отриц. кластерах  $X^- \cdot L$  ( $X = \text{Cl}^-$ ,  $\text{NO}_2^-$ ,  $\text{NO}_3^-$  и  $\text{H}_2\text{SO}_4^-$ ,  $L = \text{H}_2\text{O}$ ,  $\text{SO}_2$ ,  $\text{HCl}$ ,  $\text{H}_2\text{O}_2$ ). Из этих зависимостей определено изменение энталпии, вызываемое присоединением различ. лигандов. Установлено, что  $\text{SO}_2$ ,  $\text{H}_2\text{O}_2$  и  $\text{HCl}$  сильнее связываются с  $X^-$ , чем  $\text{H}_2\text{O}$  (константы равновесия в 1000 раз больше). С учетом того, что содержание  $\text{HCl}$  и  $\text{H}_2\text{O}_2$  в средней стратосфере в 1000 раз меньше, чем  $\text{H}_2\text{O}$ , сделан вывод, что столь большие константы равновесия должны обуславливать содержание в стратосфере оптич. ионов с лигандом  $\text{HCl}$  и  $\text{H}_2\text{O}_2$  порядка 1%. Е. Николаев

$\text{Cl}^- \cdot \text{H}_2\text{O}$

(On. 20498)

1984

ll. gr.

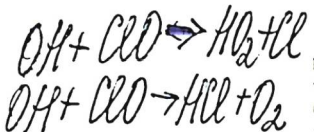
4 Д123. Энергии связи молекул  $\text{H}_2\text{O}$ ,  $\text{SO}_2$ ,  $\text{H}_2\text{O}_2$  и  $\text{HCl}$  с различными атмосферными отрицательными ионами. Bond energies of the molecules  $\text{H}_2\text{O}$ ,  $\text{SO}_2$ ,  $\text{H}_2\text{O}_2$ , and  $\text{HCl}$  to various atmospheric negative ions. Böhringer H., Fahey D. W., Fehsenfeld F. C., Ferguson E. E. «J. Chem. Phys.», 1984, 81, № 6, 2805—2810 (англ.)

Экспериментально исследованы энергии связи в кластерных ионах  $\text{X}^- \cdot \text{M}$ , где  $\text{X}^- = \text{Cl}^-$ ,  $\text{NO}_2^-$ ,  $\text{NO}_3^-$  и  $\text{HSO}_4^-$  и  $\text{M} = \text{H}_2\text{O}$ ,  $\text{SO}_2$ ,  $\text{H}_2\text{O}_2$  и  $\text{HCl}$ . Найдено, что силы связей в этих кластерах варьируют в диапазоне  $\Delta H = 50 \div 102$  кДж/моль. В зависимости от молекулы лиганда значения  $\Delta H$  возрастают в следующем порядке:  $(\text{H}_2\text{O}) < (\text{SO}_2) \leqslant (\text{H}_2\text{O}_2) \leqslant (\text{HCl})$ . При т-рах 250—300 К значения константы равновесия для ассоциации  $\text{H}_2\text{O}_2$  и  $\text{HCl}$  с отрицат. ионами на 3—4 порядка выше, чем для ассоциации  $\text{H}_2\text{O}$  с теми же ионами. Сделаны выводы о содержании различных кластерных отрицат. ионов в стрatosфере.

Н. В. В.

Ф 1985, 18, N 4

1984



6 Д232. Ветвление и температурная зависимость константы скорости реакции  $\text{OH} + \text{ClO}$ . Rate coefficient temperature dependence and branching ratio for the  $\text{OH} + \text{ClO}$  reaction. Hills Alan J., Howard Carleton J. «J. Chem. Phys.», 1984, 81, № 10, 4458—4465 (англ.)

Разделение каналов реакции  $\text{OH} + \text{ClO} \rightarrow \text{HO}_2 + \text{Cl}$  (а) или  $\rightarrow \text{HCl} + \text{O}_2$  (б) осуществлено в результате регистрации конц-ий радикалов  $\text{R} = \text{OH}$ ,  $\text{ClO}$  и  $\text{HO}_2$  в продуктах проточного разряда по методу резонансной магнитной лазерной спектроскопии. Подбором специального лазерного источника (в далекой ИК-области) и модуляцией магн. поля в зоне реакции обеспечивались резонансные условия поглощения излучения для данного вращательного состояния  $\text{R}$ ; применение фазочувствительного метода регистрации позволило повысить чувствительность метода. Реакция изучена при давлении  $\sim 1$  Тор и т-рах 219—373 К. Получены: суммарная константа скорости реакции  $k = (8,0 \pm 1,4) \cdot 10^{-12} \cdot \exp(235 \pm 46/T)$  см $_3$ /молекул·с, соотношение

1985

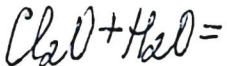
1985, 18, № 6

$k_a/k = 0,86 \pm 0,14$  и значение теплоты образования  
 $\Delta H^\circ_{t=298}(\text{HO}_2) = 3,0 \pm 0,4$  ккал/моль.

Г. А.

1985

HOCl

(S<sub>f</sub>H)(K<sub>p</sub>)

C.A. 1985, 102, N6

102: 53439f Applications of a new laboratory source of gaseous hypochlorous acid (HOCl): product distribution in the atomic chlorine + hypochlorous acid (HOCl) reaction and equilibrium constant for the reaction chlorine oxide (Cl<sub>2</sub>O) + water = 2 hypochlorous acid (2HOCl). Ennis, Christine A.; Birks, John W. (Dep. Chem., Univ. Colorado, Boulder, CO 80309 USA). *J. Phys. Chem.* 1985, 89(1), 186-91 (Eng). A new lab. source of gaseous HOCl is described. The new source is dynamic, whereby HOCl is formed by reaction of Cl<sub>2</sub> with aq. CaCO<sub>3</sub> and used before it equilibrates to form Cl<sub>2</sub>O and H<sub>2</sub>O. When compared to the conventional static prepn. of HOCl by Cl<sub>2</sub>O-H<sub>2</sub>O-HOCl equilibration, the dynamic HOCl source has a substantially lower Cl<sub>2</sub>O impurity level. The new source was applied to the measurement of the product distribution in the reaction of Cl + HOCl in a low-pressure mass spectrometry-discharge flow system. The major reaction channel gives the products Cl<sub>2</sub> and OH, with a yield of 61 ± 6% at 298 K. In combination with other thermochem. and kinetic data, this result yields a value of -18.0 kcal mol<sup>-1</sup> for the std. heat of formation ( $\Delta H^\circ_f$ ) of HOCl. In addn., the dynamic source was used to achieve an abs. calibration of the response of the mass spectrometer to HOCl. Making use of this calibration and conventional equil. Cl<sub>2</sub>O-H<sub>2</sub>O-HOCl mixts., we detd. the equil. const. (K<sub>eq</sub>) of the reaction Cl<sub>2</sub>O + H<sub>2</sub>O = 2HOCl to be 0.092 ± 0.011 at 298 K, where the uncertainty reflects both random errors and the est. of possible systematic errors of the measurement.

Om-21496

1985

$(H_2O \cdot Cl^-)_2$

Mak T.C.W., So S.P.,

J. Mol. Struct.,  
1985, 127, N 3-4,  
375-377.

Смайк-  
мира

H<sub>2</sub>D-HCl<sub>aq</sub> [Dn. 21347] 1985

Sako T.; Hakuta T., et al.,

γ·Chem. Eng. Data

1985, 30, 224-228

P:

$H_2O \cdot Cl^-$ (2)    0M. ZK 824    1985

Sieck L. Wayne.

J. Phys. Chem., 1985,  
89, N 25, 5552 -  
- 5556.

$K_p, S_f H;$

(Cet.  $CH_3 SO_4^- \cdot C_6H_5 \cdot NO_2^- ; I^-$ )

$\text{Cl}\cdot(\text{H}_2\text{O})_{n(2)}$     Om. 25191    1986

Keesee R.G., Castleman  
A.W., Jr.,

$\Delta_f H$ ,  $\Delta_f S$ , J. Phys. and Chem. Ref.  
 $\Delta_f G$  Data, 1986, 15, n3,  
1011-1071.

$\text{Cl}^-, \text{HCl}, (\text{H}_2\text{O})_{n(2)}$  [om. 25191] 1986

Reesee R. G., Castleman  
A.W., Jr.,

$\Delta_f H, \Delta_f S,$  J. Phys. and Chem. Ref.  
 $\Delta_f f$  Data, 1986, 15, N3,  
1011-1071.

$\text{Cl}^- \text{H}_2\text{O}(2)$  [Om. 25174]

1986

Yanabe S., Furumiya Y.,  
HiraoKA K., et al.,

DfR; Chem. Phys. lett., 1986,  
131, N3, 261-266.

Hed. Cl-      [Dm. 24576]      1986

Zeegers - Huykens Th.,  
Chem. Phys. lett.,  
1986, 129, N2, 172-175.

[ $\text{Cl}(\text{H}_2\text{O})_n$ ]<sup>-</sup>

1987

9 Б3070. Газофазная сольватация  $\text{Cl}^-$  [молекулами]  $\text{H}_2\text{O}$ ,  $\text{CH}_3\text{OH}$ ,  $\text{C}_2\text{H}_5\text{OH}$ , изо- $\text{C}_3\text{H}_7\text{OH}$ , н- $\text{C}_3\text{H}_7\text{OH}$  и трет- $\text{C}_4\text{H}_9\text{OH}$ . Gas-phase solvation of  $\text{Cl}^-$  with  $\text{H}_2\text{O}$ ,  $\text{CH}_3\text{OH}$ ,  $\text{C}_2\text{H}_5\text{OH}$ , i- $\text{C}_3\text{H}_7\text{OH}$ , n- $\text{C}_3\text{H}_7\text{OH}$ , and t- $\text{C}_4\text{H}_9\text{OH}$ . Higaoka Kenzo, Mizuse Susumu. «Chem. Phys.», 1987, 118, № 3, 457—466 (англ.)

С помощью масс-спектрометра ВД исследованы газофазные р-ции образования кластеров  $\text{Cl}^-(\text{ROH})_{n-1} + \text{ROH} \rightleftharpoons \text{Cl}^-(\text{ROH})_n$ , где ROH — вода или спирт,  $n \leq 11$ . В случаях  $\text{CH}_3\text{OH}$  и  $\text{C}_2\text{H}_5\text{OH}$  6 лигандов завершают оболочку, и при  $n \geq 7$  послед. молекулы располагаются во внешнем слое. Энергия связи  $D(\text{ROH} \dots \text{Cl}^-)$  увеличивается в ряду  $\text{H}_2\text{O} < \text{CH}_3\text{OH} < \text{C}_2\text{H}_5\text{OH} <$  изо- $\text{C}_3\text{H}_7\text{OH} <$  трет- $\text{C}_4\text{H}_9\text{OH} <$  н- $\text{C}_3\text{H}_7\text{OH}$ . Высокая прочность связи н- $\text{C}_3\text{H}_7\text{OH} \dots \text{Cl}^-$  м. б. обусловлена тем, что к-тные атомы Н групп  $\text{CH}_3$  и OH

20

X. 1988, 19, № 9

взаимодействуют с  $\text{Cl}^-$  с образованием наиболее выгодной конфигурации. Для р-ций  $\text{Cl}^-(\text{H}_2\text{O})_n + (\text{ROH})_n \rightleftharpoons \text{Cl}^-(\text{ROH})_n + (\text{H}_2\text{O})_n$  величины  $\Delta G_n^\circ$  при  $n=7$  сходятся к  $\Delta G^\circ$  переноса  $\text{Cl}^-$  из воды в  $\text{ROH}$  ( $n \rightarrow \infty$ ). Эта сходимость обусловлена компенсирующим изменением  $\Delta H_n^\circ$  и  $\Delta S_n^\circ$ . При  $n=1 \rightarrow 7$  происходит увеличение отклонения этих ф-ций от соотв. ф-ций переноса, что объясняется большей прочностью связей молекул спиртов с  $\text{Cl}^-$  по сравнению с водой и, как следствие неблагоприятным изменением энтропии из-за ограничения свободы движения этих молекул во внутр. оболочке кластера.

По резюме

HeO-HCl

[Om. 28865]

1987

Latajka Z., Schreiner S.,

$\Delta H^0(298K)$  J. Chem. Phys., 1987,  
87, N10, 5928 - 5936.



$\text{HClO}_4 \cdot 5,5\text{H}_2\text{O}$

1987

Mootz D., Dellers E.-J.,  
et al.

J. Amer. Chem. Soc.,  
1987, 109, NY, 1200-1202.

(ccr,  $\text{HPF}_6 \cdot 7,67\text{H}_2\text{O}; \overline{\text{T}}$ )

*H<sub>2</sub>O...HCl*

*1987*

10S: 62701m Structure, energetics, and vibrational spectrum of water-hydrogen chloride. Latajka, Zdzislaw; Scheiner, Steve (Dep. Chem. Biochem., South. Illinois Univ., Carbondale, IL 62901 USA). *J. Chem. Phys.* 1987, 87(10), 5928-36 (Eng). H<sub>2</sub>O-HCl is studied using a no. of basis sets including Q-31G\* and variants which are augmented by a diffuse sp shell and a second set of d functions on O and Cl. Optimization of the geometry of the complex is carried out including explicitly electron correlation and counterpoise correction of the basis set superposition error (BSSE) at both the SCF and correlated levels. Correlation strengthens and shortens the H bond while BSSE correction leads to an opposite trend; these two effects are of different magnitude and hence cancel one another only partially. AH° (298 K) is calcd. to be -4.0 kcal/mol, 1/4 of which is due to correlation. Formation of the complex causes the strong intensification and red shift of the H-Cl stretching band normally assoc. with H bonding, whereas the internal vibrations of H<sub>2</sub>O are very little affected, except for a doubling of the intensity of the sym. stretch. With respect to the intermol. modes, the bends of the proton donor are of higher frequency than those involving the acceptor. While these intermol. bends are all of moderate intensity, comparable to the intramol. modes, the H-bond stretch ν<sub>o</sub> is very weak indeed, consistent with a principle involving subunit dipole. All calcd. vibrational data are in excellent agreement with the spectra measured in solid inert gas matrixes.

*(ΔfH°<sub>298</sub>)*

*meop. pacet*

*C.A. 1988, 108,  
N 8*



1988

Larson J. W.,  
McMahon T. B.

J. Am. Chem. Soc. 1988,  
110 (4), 1087 - 93.

(cet.  $\text{H}_3\text{O}^+$ ; I)

400

1990

Рабовский В. Г.

Теc. н.-у. и проекц. лист  
хлоп. пром-стии. пл.,  
1990. л. 1-19.

(см. 400; I.)

$HClO_4 \cdot H_2O$

1991

114: 254251k Nature of intermolecular forces in perchloric acid-water gas-phase mixtures. Karelina, A. I.; Dudin, A. V.; Rosolovskii, V. Ya. (USSR). *Zh. Neorg. Khim.* 1991, 36(2), 513-19 (Russ). IR absorption spectra ( $400-4000\text{ cm}^{-1}$ ) are studied of  $H_2O:HClO_4$  gaseous mixts. (ratios from 5 to 130) at room temp. and up to  $130^\circ$ . The rotational-vibrational spectra do not depend on the above ratio and are equiv. to that of pure  $HClO_4$  which shows that  $HClO_4$  and  $H_2O$  form an ideal gaseous mixt. Conditions are considered for  $H_2O \cdot HClO_4$  complex formation.

(Kp)

C.A. 1991, 114, N-26

$\text{Cl}_2 \cdot n\text{H}_2\text{O}$

1991

(kp)

115: 36079q The phase diagram of the chlorine-water-chlorine hydrate system and the thermodynamic functions of the formations of chlorine hydrate. Kotai, Laszlo; Bodi, Ferenc; Sebestyen, Attila; Harfouch, Salman (Dep. Gen. Inorg. Chem., Univ. Veszprem, H-8201 Veszprem, Hung.). *Hung. J. Ind. Chem.* 1991, 19(1), 63-8 (Eng). The parameters of new invariant quadruple point were detd. from exptl. vapor pressure data and by the extrapolation of the dissociation pressure or the satd. vapor pressure of the chlorine hydrate and chlorine. The phase diagram,  $p-T$ , of chlorine hydrate was also introduced. The thermodynamical functions of the chlorine hydrate formation by the reaction  $\text{Cl}_{2(g)} + n\text{H}_2\text{O}_{(l)} = \text{Cl}_2 \cdot n\text{H}_2\text{O}_{(s)}$  was calcd. The restrictions in applicability of the Claustrius-Clapeyron equation within the system were demonstrated and the influence of the change in the compn. onto the values of the thermodn. functions was evaluated.

C.A.1991, 115, N.Y

$\text{Cl}^-(\text{H}_2\text{O})_n$

1993

$n=1-8, 14$

120: 227556f Limited effects of polarization for hydrated chloride and hydrated sodium( $1+$ ) ( $\text{Cl}^-(\text{H}_2\text{O})_n$  and  $\text{Na}^+(\text{H}_2\text{O})_n$ ) clusters. Jorgensen, William L.; Severance, Daniel L. (Dep. Chem., Yale Univ., New Haven, CT 06511-8118 USA). *J. Chem. Phys.* 1993, 99(5), 4233-5 (Eng). The enthalpies of binding for  $\text{Cl}^-(\text{H}_2\text{O})_n$  ( $n = 1-8$  and 14) and  $\text{Na}^+(\text{H}_2\text{O})_n$  ( $n = 1-6$  and 14) clusters were calcd. by Monte Carlo simulation by using the OPLS (optimized potential for liq. simulation) parameters. The results are compared with mol. dynamics values obtained with the SPCE/POL polarization model, and the exptl data. The effects of including explicit polarization for these clusters are not as significant as previously indicated.

(+)  $\text{Na}^+(\text{H}_2\text{O})_n$   
 $n=1-6, 14$

c.A.1994, 120, N18

Cl-H<sub>2</sub>O

1993

, 120: 174624t Thermodynamics of Cl-H<sub>2</sub>O, Br-H<sub>2</sub>O, I-H<sub>2</sub>O, Au-Cl-H<sub>2</sub>O, Au-Br-H<sub>2</sub>O and Au-I-H<sub>2</sub>O systems at 298 K. Kelsall, G. H.; Welham, N. J.; Diaz, M. A. (Department of Mineral Resources Engineering, Imperial College, London, UK SW7 2BP). *J. Electroanal. Chem.* 1993, 361(1-2), 13-24 (Eng). The thermodn. of halide-water and gold-halide-water systems are summarized as potential-pH and activity-pH diagrams, calcd. from recently published std. Gibbs energies of formation of the various species and phases considered. The stability of the gold-halide complexes increases in the order Cl < Br < I, which is reflected in the pH above which Au(OH)<sub>3</sub> (c) is predicted to form, though even the chloride complexes are stable at pH < 7. These diagrams enable predictions to be made of the behavior of gold in halide electrolytes; chloride is used in industrial gold electrorefining, and interest is increasing in coupled leach-electrowin processes involving electrogenerated chlorine, bromine and iodine.

nePMOGURKAMU

ka · RPL

T = 298

(75)



C. A. 1994, 120, N 14

$\text{ClO} + \text{H}_2\text{O}_2$

1995

123: 209295c Ab initio prediction of the barrier height for abstraction of hydrogen from  $\text{H}_2\text{O}_2$  by ClO radical. Francisco, Joseph S.; Sander, S. P. (Jet Propulsion Laboratory, California Institute Technology, Pasadena, CA 91109 USA). *Mol. Phys.* 1995, 85(6), 1069-71 (Eng). The reaction of ClO radicals with  $\text{H}_2\text{O}_2$  has been investigated by ab initio MO theory with a variety of basis sets and levels of correlation. At the QCISD(T)/6-311++G(2df,2p) level of theory the heat of reaction for  $\text{ClO} + \text{H}_2\text{O}_2$  is  $-8.4 \pm 2$  kcal mol $^{-1}$  and the classical barrier height is  $7.6 \pm 2$  kcal mol $^{-1}$ .

(S<sub>2</sub>H)

C. A. 1995, 123, N 16